

# Дифференцирование и интегрирование СИГНАЛОВ

Бояринцева Н.А.      Можаров А.Р.

26 ноября 2023

## Теоретическая часть

### Четырёхполосники

Под *четырёхполосником* понимается электрическая цепь, имеющая четыре наружных контакта, с помощью которых она подключается к другим цепям. Как правило, имеет смысл одну пару контактов называть входными, а другую выходными.

Если на вход четырёхполосника подаётся сигнал  $U_{\text{вх.}}(t)$ , то с выхода дифференцирующего четырёхполосника ожидается сигнал:

$$U_{\text{вых.}}(t) = \tau_0 \cdot \frac{dU_{\text{вх.}}(t)}{dt}$$

а с интегрирующего сигнал:

$$U_{\text{вых.}}(t) = \frac{1}{\tau_0} \int_{-\infty}^t U_{\text{вх.}}(\tau) d\tau$$

где  $\tau_0$  — константа, имеющая размерность времени, называемая *постоянной времени*.

Запишем второй закон Кирхгофа для четырёхполосников рис. ???. Импеданс внешней цепи считаем стремящимся к бесконечности, поэтому второй

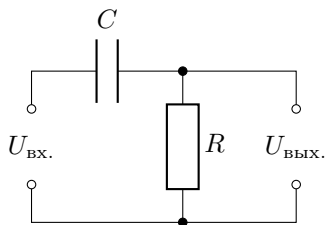


Рис. 1.1: Дифференцирующий четырёхполосник

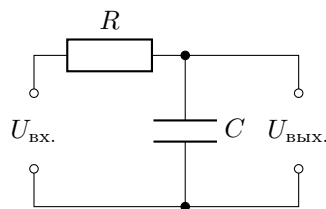


Рис. 1.2: Интегрирующий четырёхполосник

Рис. 1: Линейные четырёхполосники

закон Кирхгофа для данных четырёхполюсников совпадёт и примет вид:

$$RI(t) + \frac{1}{C} \int_{-\infty}^t I(\tau) d\tau = U_{\text{вх.}}(t)$$

Домножив на ёмкость конденсатора  $C$  и обозначив произведение  $RC$  за постоянную времени  $\tau_0$ , получим выражение:

$$\tau_0 I(t) + \int_{-\infty}^t I(\tau) d\tau = CU_{\text{вх.}}(t)$$

При малом  $\tau_0$  можно пренебречь первым слагаемым, тогда продифференцировав по времени и домножив на  $R$ , получим:

$$U_{\text{вых.}}(t) = \tau_0 \cdot \frac{dU_{\text{вх.}}}{dt}$$

При большом  $\tau_0$  можно пренебречь уже вторым слагаемым, тогда проинтегрировав по времени и поделив на ёмкость конденсатора получим:

$$U_{\text{вых.}}(t) = \frac{1}{\tau_0} \int_{-\infty}^t U_{\text{вх.}}(\tau) d\tau$$

Т.е. при малой постоянной времени четырёхполюсник на рис. ?? будет осуществлять приближённое дифференцирование входного сигнала, а при большой постоянной времени четырёхполюсник рис. ?? будет осуществлять приближённое интегрирование входного сигнала.

Важнейшей характеристикой четырёхполюсника является его *коэффициент передачи*, равный отношению комплексной амплитуды напряжения на выходе к комплексной амплитуде напряжения и входе:

$$K = \frac{\hat{U}_{\text{вых.}}}{\hat{U}_{\text{вх.}}} = \hat{K} \cdot e^{i\varphi}$$

Рассчитаем коэффициенты передачи дифференцирующего (рис. ??) и интегрирующего (рис. ??) четырёхполюсников:

$$K_d = \frac{R}{R + \frac{1}{i\omega C}} = \frac{i\tau_0\omega}{1 + i\tau_0\omega} \quad K_I = \frac{\frac{1}{i\omega C}}{R + \frac{1}{i\omega C}} = \frac{1}{i\tau_0\omega} \cdot \frac{1}{1 + \frac{1}{i\tau_0\omega}}$$

Коэффициенты передачи же четырёхполюсников, выполняющих «идеальное» дифференцирование и интегрирование имеют вид:

$$K_d = \tau_0\omega e^{i\frac{\pi}{2}} \quad K_I = \frac{1}{\tau_0\omega} e^{-i\frac{\pi}{2}}$$

Следовательно для преобразования сигналов, близкого к «идеальному», требуется выполнения условий: для дифференцирования  $\tau_0\omega \ll 1$  и для интегрирования  $\tau_0\omega \gg 1$ , причём эти условия должны выполняться для всех частот в существенной части спектра.

## Ряд Фурье

Множество  $K$  называется *линейным пространством* (над некоторым полем  $F$ ), если на нём введена бинарная операция, называемая *сложением*, обозначаемая  $+$  и обладающая следующими свойствами (далее  $x, y, z, \theta \in K, \alpha, 1 \in F$ ):

1. Замкнутость  $((x + y) \in K)$
2. Коммутативность  $(x + y = y + x)$
3. Ассоциативность  $(x + (y + z) = (x + y) + z)$
4. С нейтральным элементом  $(\theta + x = x + \theta = x)$
5. С обратным элементом  $((-x) + x = x + (-x) = \theta)$

и операция, называемая *умножением на скаляр*, обладающая свойствами:

1.  $1 \cdot x = x$
2.  $\alpha x \in K$
3.  $\alpha(\beta x) = (\alpha\beta)x$
4.  $(\alpha + \beta)x = \alpha x + \beta x$
5.  $\alpha(x + y) = \alpha x + \alpha y$

Заметим, что множество непрерывных на некотором отрезке  $[a, b]$  функций является линейным пространством.

Отображение, ставящее в соответствие двум элементам  $x, y$  линейного пространства число из поля, над которым построено это линейное пространство, называется *скалярным произведением* и обозначается  $(x, y)$ , если оно обладает следующими:

1.  $(x, y) = \overline{(y, x)}$
2.  $(x + y, z) = (x, z) + (y, z)$
3.  $(\lambda x, y) = \lambda(x, y)$
4.  $(x, x) > 0, x \neq \theta$

Заметим, что на пространстве непрерывных на отрезке  $[a, b]$  функций можно ввести скалярное произведение:

$$(x, y) = \int_a^b x(t) \overline{y(t)} dt$$

где  $\overline{f(x)}$  означает комплексное сопряжение. Заметим, что комплексное сопряжение не изменяет значение действительного числа.

Если выполняется условие:

$$(x, y) = \begin{cases} \alpha, & x = y \\ 0, & x \neq y \end{cases}$$

то семейство векторов называется *ортгональным*; если  $(x, x) = 1, x \neq \theta$ , то *нормированным*; а если выполняются оба условия, то *ортонормированным*.

Заметим, что

$$\int_{-\pi}^{\pi} \sin(mx) \sin(nx) dx = \int_{-\pi}^{\pi} \cos(mx) \cos(nx) dx = \begin{cases} \pi, & m = n \\ 0, & m \neq n \end{cases}$$

$$\int_{-\pi}^{\pi} \cos(mx) \sin(nx) dx = 0$$

т.е. семейство функций  $1, \sin(mx), \cos(nx)$  является ортгональным на симметричном отрезке.

Говорят, что непрерывная на некотором отрезке  $[a, b]$  функция  $f(x)$  разложена в *ряд Фурье* по ортгональному семейству непрерывных на том же отрезке  $[a, b]$  функций  $\{\varphi_n(x)\}$ , если существует такая последовательность коэффициентов  $\{a_n\}$ , что ряд  $\sum_{n=1}^{\infty} a_n \varphi_n(x)$  сходится к функции  $f(x)$  на всём отрезке  $[a, b]$ .

Если ряд Фурье функции  $f(x)$  сходится равномерно на всём отрезке  $[a, b]$ , то для коэффициентов этого ряда справедливы следующие выражения:

$$a_n = \frac{(f(x), \varphi_n(x))}{(\varphi_n(x), \varphi_n(x))} = \frac{\int_a^b f(x) \varphi_n(x) dx}{\int_a^b \varphi_n^2(x) dx}$$

*Тригонометрическим рядом Фурье*  $2\pi$ -периодической функции  $f(x)$  называют функциональный ряд вида:

$$f(x) = c + \sum_{n=1}^{\infty} (a_n \cos(nx) + b_n \sin(nx))$$

Ввиду ортгональности семейства функций, для коэффициентов ряда можно получить удобные формулы:

$$c = \frac{1}{2\pi} \int_{-\pi}^{\pi} f(x) dx$$

$$a_n = \frac{1}{\pi} \int_{-\pi}^{\pi} f(x) \cos(nx) dx$$

$$b_n = \frac{1}{\pi} \int_{-\pi}^{\pi} f(x) \sin(nx) dx$$

Заметим, что ряд Фурье  $2\pi$ -периодической функции можно почленно дифференцировать (при условии, что функция непрерывная и кусочно гладкая) и интегрировать (при условии, что функция кусочно непрерывная).

Используя формулу Эйлера ( $e^{i\varphi} = \cos(\varphi) + i\sin(\varphi)$ ) получим формулы Эйлера:

$$\cos(\varphi) = \frac{e^{i\varphi} + e^{-i\varphi}}{2} \quad \sin(\varphi) = \frac{e^{i\varphi} - e^{-i\varphi}}{2i}$$

из которых заменами ( $c = \frac{a_0}{2}$ ):

$$c_k = \frac{a_k - ib_k}{2} = \frac{1}{2\pi} \int_{-\pi}^{\pi} f(x)e^{-ikx} dx \quad c_{-k} = \frac{a_k + ib_k}{2} = \frac{1}{2\pi} \int_{-\pi}^{\pi} f(x)e^{ikx} dx$$

получим комплексную форму тригонометрического ряда Фурье:

$$f(x) = \sum_{k=-\infty}^{+\infty} c_k e^{ikx}$$

## Практическая часть

1. Для дифференцирующего четырёхполюсника с постоянной времени  $\tau_0 = 10$  мкс снята зависимость модуля и аргумента коэффициента передачи от частоты.

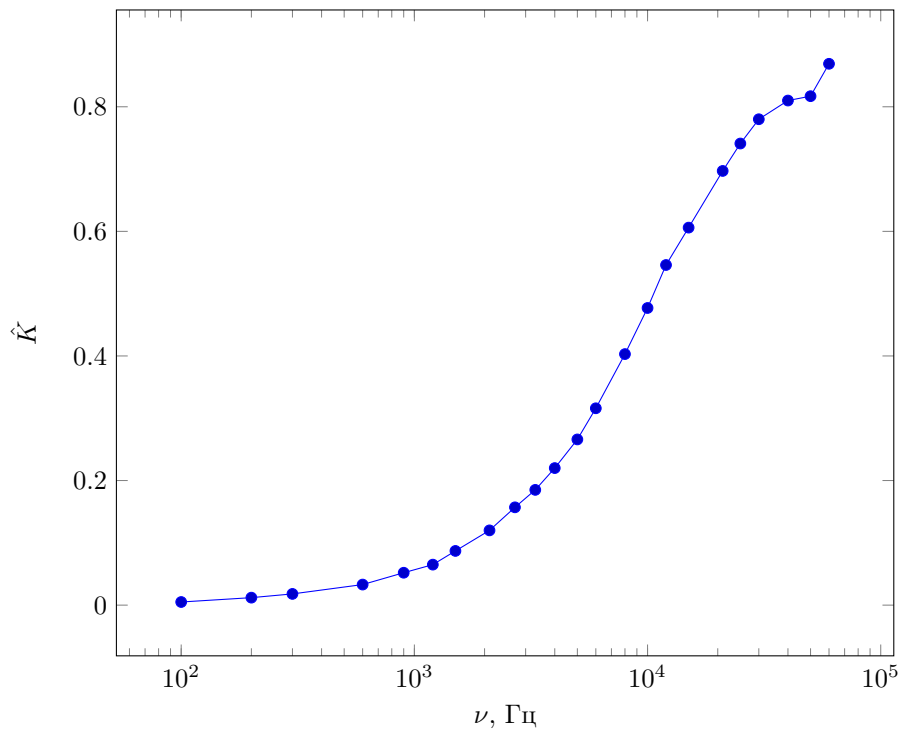


Рис. 2: Зависимость модуля коэффициента передачи от частоты для дифференцирующего четырёхполюсника

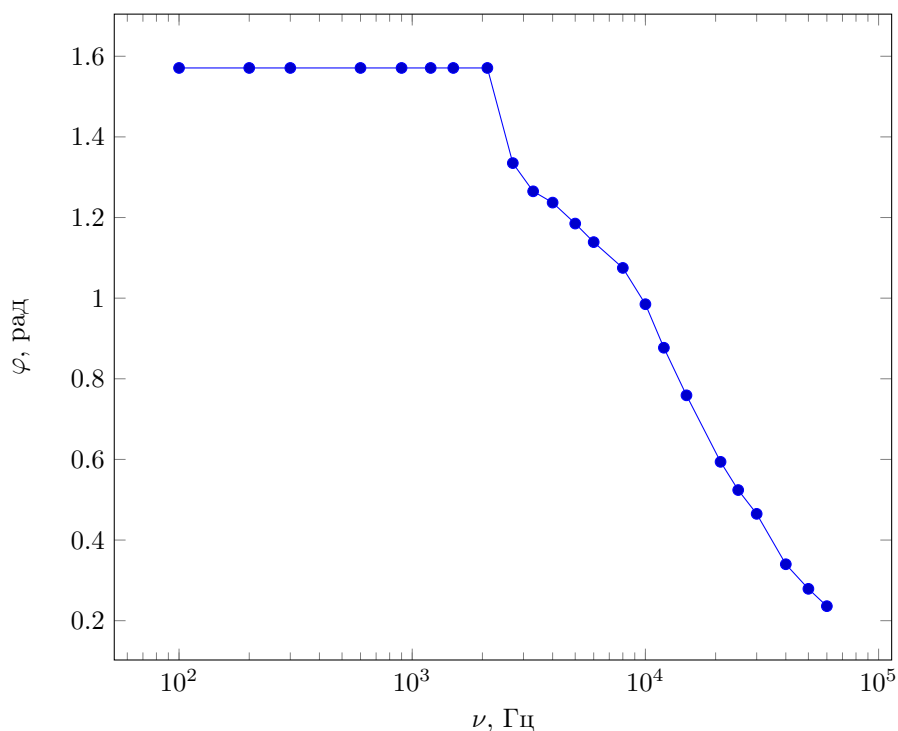


Рис. 3: Зависимость аргумента коэффициента передачи от частоты для дифференцирующего четырёхполюсника

- Для интегрирующего четырёхполюсника с постоянной частоты  $\tau_0 = 5$  мс снята зависимость модуля и аргумента коэффициента передачи от частоты.
- Разложение усечённого синуса в ряд Фурье

$$f(t) = \begin{cases} -\sin(\omega t) & -\frac{\pi}{\omega} < t < 0 \\ 0 & 0 < t < \frac{\pi}{\omega} \end{cases}$$

Получим:

$$f(t) = \frac{1}{2}\cos(\omega t) + \sum_{k=1}^{\infty} \frac{2}{\pi} \frac{(-1)^{k+1}}{4k^2 - 1} \cos(2k\omega t)$$

Удовлетворительное дифференцирование и интегрирование урезанной синусоиды показано на рис. ?? и рис. ??, соответственно.

- Дифференцирование (рис. ??) и интегрирование (рис. ??) меандра, соответственно.

Разложение меандра в ряд Фурье:

$$\frac{4}{\pi} \sum_{k=1}^{\infty} \frac{\sin(\pi k t)}{k}$$

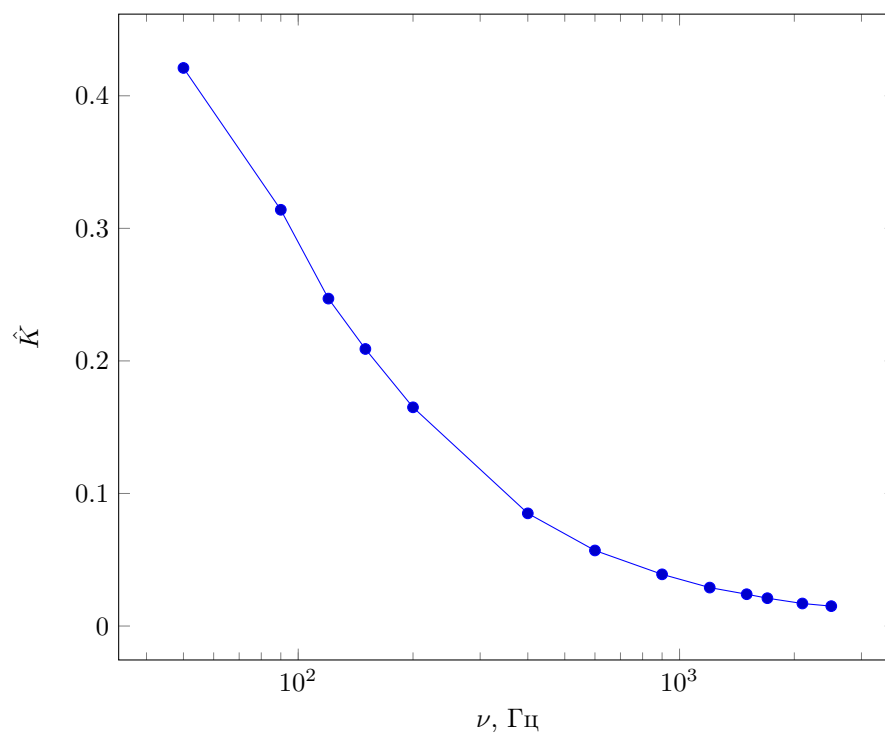


Рис. 4: Зависимость модуля коэффициента передачи от частоты для интегрирующего четырёхполюсника

5. Дифференцирование (рис. ??) и интегрирование (рис. ??) треугольника, соответственно.

Разложение треугольника в ряд Фурье:

$$\frac{8}{\pi^2} \sum_{k=1}^{\infty} (-1)^{\frac{k-1}{2}} \frac{\sin(\pi kt)}{k^2}$$

6. Дифференцирование (рис. ??) и интегрирование (рис. ??) пилы, соответственно.

Разложение пилы в ряд Фурье:

$$\frac{1}{2} - \frac{1}{\pi} \sum_{k=1}^{\infty} \frac{1}{k} \sin(\pi kt)$$

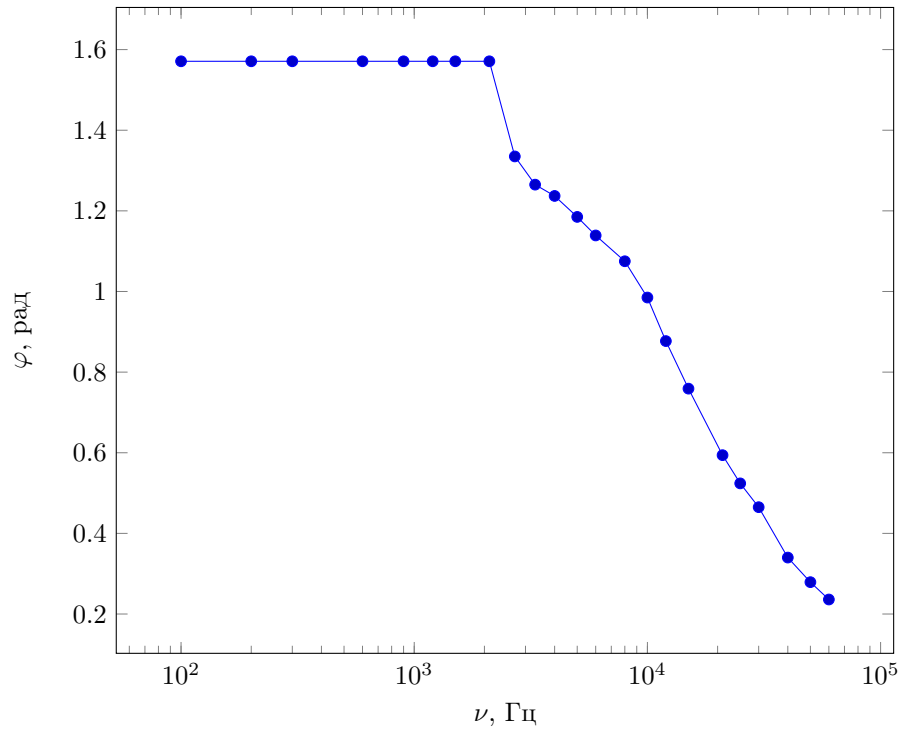


Рис. 5: Зависимость аргумента коэффициента передачи от частоты для интегрирующего четырёхполюсника

5.png

Рис. 6: Дифференцирование при  $\tau_0 = 10$  мкс и  $\nu = 500$  Гц

6.png

Рис. 7: Интегрирование при  $\tau_0 = 5$  мс и  $\nu = 5000$  Гц

7.png

Рис. 8: Дифференцирование меандра при  $\tau_0 = 10$  мкс и  $\nu = 50$  Гц

8.png

Рис. 9: Интегрирование меандра при  $\tau_0 = 5$  мс и  $\nu = 500$  Гц

9.png

Рис. 10: Дифференцирование треугольника при  $\tau_0 = 10$  мкс и  $\nu = 500$  Гц

10.png

Рис. 11: Интегрирование треугольника при  $\tau_0 = 5$  мс и  $\nu = 500$  Гц



11.png

Рис. 12: Дифференцирование пи́лы при  $\tau_0 = 10$  мкс и  $\nu = 500$  Гц

12.png

Рис. 13: Интегрирование пи́лы при  $\tau_0 = 5$  мс и  $\nu = 500$  Гц